

画像処理による材料の変形パターン同定

東北大学生員	○ 村上真也
東北大正員	○ 池田清宏
東北大正員	○ 寺田賢二郎

1. まえがき

砂の円柱供試体に、シェルの代表的な座屈モードであるダイアモンドパターンが発生した例が報告されている。また岩やクリスタル等にはエシェロンモード（雁行状の周期的な亀裂）が発生することが知られている。池田等はこれらのパターンの発生、変化を対称性の階層的崩壊による多段階分岐現象として捉え、群論的分岐理論¹⁾によりその基礎メカニズムを解明している。

そこで本研究では、金属材料の塑性縞の写真をもとに分岐解析を行い、ストライプパターンから2次分岐してエシェロンモードが発生するという、池田等の理論^{1), 2)}の妥当性を検証する。

2. 分岐理論の概要

領域の境界の影響を除くために、長方形領域の両端は周期的な境界とし、滑らかにつながっていると仮定する。この場合の分岐構造に関しては水木がFourier級数項を用いて以下のように求めている。

a) 主経路からの分岐解

主経路上の4重分岐点からは、以下の2種類のパターンの方向に分岐解が存在する。

ダイアモンドパターン ($DI_{nn\bar{n}}$)

$$w = A_{nn} \cos\left(\frac{2\pi nx}{L_x}\right) \cos\left(\frac{2\pi \bar{n}x}{L_y}\right) \quad (1)$$

$$w = B_{nn} \sin\left(\frac{2\pi nx}{L_x}\right) \sin\left(\frac{2\pi \bar{n}x}{L_y}\right) \quad (2)$$

ストライプパターン ($OB_{n\bar{n}}^\pm$)

$$w = A_{n\bar{n}} \cos\left(2\pi\left(n\frac{x}{L_x} \pm \bar{n}\frac{y}{L_y}\right)\right) \quad (3)$$

$OB_{n\bar{n}}^\pm$ は、図1(a)に示したように、一定の周期の平行な波である。

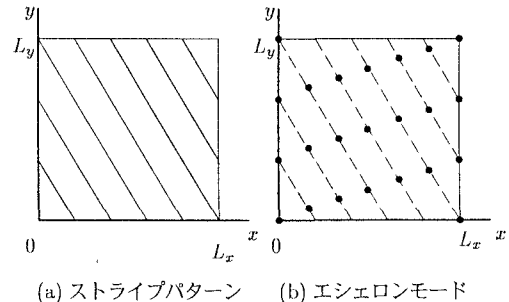
b) ストライプパターン $OB_{n\bar{n}m\bar{m}}^\pm$ 不変経路からの分岐解

$OB_{n\bar{n}m\bar{m}}^\pm$ 不変経路からの分岐解には、以下の2種類の分岐経路が存在する。

ストライプパターン ($OB_{m\bar{m}}^\pm$)

$$w = \sum A_{m\bar{m}} \cos\left(2\pi\left(m\frac{x}{L_x} \pm \bar{m}\frac{y}{L_y}\right)\right) \quad (4)$$

ここで m, \bar{m} は $n/m = \bar{n}/\bar{m} \geq 2$ を満たす整数である。

図 1 $C_{\infty v} \times \tilde{C}_{\infty v}$ 同変な系の代表的な分岐モードの模式図エシェロンモード ($EC_{n\bar{n}kl}^\pm$)

$$w = \sum A_{m\bar{m}} \cos\left(2\pi\left(m\frac{x}{L_x} \pm \bar{m}\frac{y}{L_y}\right)\right) \quad (5)$$

$EC_{n\bar{n}kl}^\pm$ は、図1(b)に示したように、ある規則で不動点が現れるモードである。

但し、 m と \bar{m} は n と \bar{n} が互いに素である場合、

$$m\bar{n} \mp \bar{m}n = jk, \quad j = 1, 2, \dots \quad (6)$$

を満たす整数である。

ここで、 k は $L_x \times L_y$ 領域における主経路との交点数を指しており、 n と \bar{n} の最大公約数を d とした時、 l は $0 \leq l \leq d-1$ を満足する整数である。

図1(b)に示したエシェロンモード $EC_{n\bar{n}kl}^\pm$ の模式図は図1(a)のストライプパターン $OB_{n\bar{n}}^\pm$ 不変経路上の2重分岐点から分岐する。

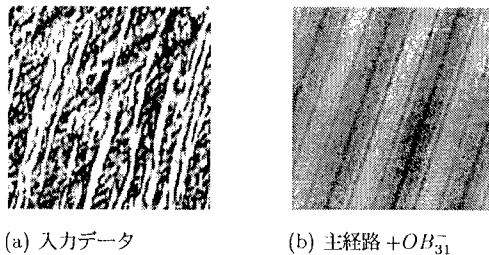
3. 画像解析

せん断帶の写真をスキャナーで読みとり、色の濃淡から z 方向の変位 w を得る。その変位を2重Fourier変換し、第2章の理論に基づき分析する。

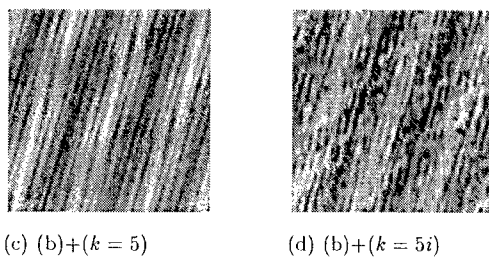
解析結果の一例として図2(a)に示す金属の塑性縞の解析例を挙げる。

(1) ストライプパターンの発生

この画像の z 方向変位 $w(x, y)$ を2重Fourier変換した。その結果、 $\cos(3x - y)$ の項が最も卓越していたため、これに相当する OB_{31}^- の対称性を持った分岐が発生したと仮定した。

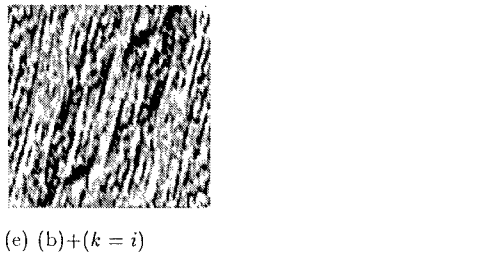


(a) 入力データ

(b) 主経路 + OB_{31}^- 

(c) (b)+(k = 5)

(d) (b)+(k = 5i)



(e) (b)+(k = i)

図 2 画像展開

(2) スライプパターンのモードインタラクション

上記の $(n, \tilde{n}) = (3, 1)$ 波の整数倍の波数 $(n, \tilde{n}) = (6, 2) = (9, 3) \dots$ を持った波も同様に、 OB_{31}^- の対称性を持つので、モードインタラクションを起こし波形を乱して図 2(b) の画像になる。

(3) エシェロンモードの発生

この OB_{31}^- 不変経路上の 2 重分岐点からエシェロンモード EC_{31kl}^\pm の対称性を持った分岐解が枝分かれする。

OB_{31}^- 波が発生した後、残りの $OB_{n\tilde{n}}$ 波の中で 2 番目に大きい Fourier 級数項は、 $(m, \tilde{m}) = (23, 6)$ であり、この波は $k = 5$ に相当するので、 EC_{3150}^\pm 不変な分岐が発生したものと仮定した。図 2(c)を見ると、白く卓越している部分が 5 倍所あることが見て取れる。これは、 $k = 5$ に相当する波が発生したことの裏付けている。

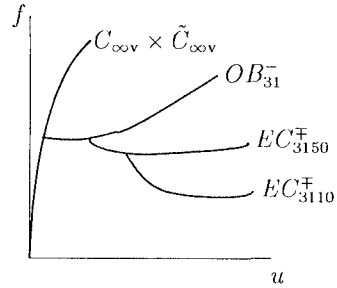


図 3 本研究の分岐模式図

(4) エシェロンモードのモードインタラクション

$k = 5$ に相当する波が発生した後、モードインタラクションによって、5 の整数倍の k 、つまり $k = 10, 15, \dots$ に相当する波が発生したと考えられ、図 2(d) の様にパターンが現れる。

(5) モードインタラクションからの分岐

今回のケースのように最初の k が素数だった場合は、5 との最大公約数を 1 にするような k の波 $k = 1, 2, 3, 4, 6, \dots$ が新たに現れる。すなわち、この段階ですべての k の波が現れることになる。

また別に、最初の k が素数でなかった場合には、その約数のうち 2 番目に大きい値の k の波になる。例えば、最初の k が 16 だったら、次に $k = 8$ が現れ、 $k = 4$ が現れ、 $k = 2$ が現れ、最後にすべての k が現れる。以上のようにして、 $OB_{n\tilde{n}}^\pm$ 不変な経路上の 2 重分岐点から、ある一定の規則に従って波が乱れてゆき、最後はエシェロンモード $EC_{n\tilde{n}kl}^\pm$ の対称性を持った分岐解が枝分かれした事を図 2(e) から確認できた。以上の結果を関係模式図 3 にまとめた。

4. 考察

図中の記号 $C_{\infty v} \times \tilde{C}_{\infty v}$ は、均質な自明解を表しており、まずここから第 3 章の (2) で示したストライプパターンが分岐している。その後、2 回の分岐を経て波形を乱しながら、エシェロンモード EC_{3110}^\pm に到達する。

5. 結論

本研究では、水木が Fourier 級数項を用いて求めた多段階の分岐現象を、画像解析の方面から検証できた。しかし、現段階では当然の事ながら、解析結果は解析領域によって変化する。今後の課題は、任意の領域設定において唯一の解析結果を得ることを可能にし、本解析に客觀性を持たせることである。

参考文献

- Ikeda, K., Nakazawa, M. and Mizuki, A.: Bifurcation pattern simulation of a rectangular domain with periodic boundaries *Int. J. Solids Structures*, Vol.44A, 1994.
- Ikeda, K., Murota, K. and Nakano, M.: Echelon modes in uniform materials. *Int. J. Solids Structures* 31, 2709–2733, 1994.